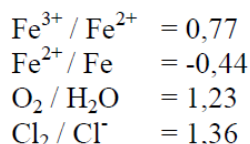


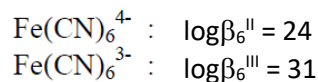
PSI - PSI 2021/2022*
DM N°3 - pour le 12 octobre 2021

Chimie : Courbes $i(E)$ d'un système du fer (Mines-Ponts – extrait)

Potentiels standard (volt) à pH = 0



Constantes globales de formation



Les ions fer (II) et fer (III) forment avec les ions cyanures des complexes hexacoordinés, dont les constantes sont données ci-dessus.

Le dichlore (Cl_2) est un gaz jaune-vert dans les conditions normales de température et de pression (*chloros* signifie « vert » en grec). Il a une odeur piquante et suffocante et est extrêmement toxique. Il a été utilisé lors de la Première Guerre mondiale en tant que gaz de combat.

6- On prépare une solution contenant $0,1 \text{ mol.L}^{-1}$ de Fe^{2+} et $0,7 \text{ mol.L}^{-1}$ de CN^- .

Quelle est la forme prédominante du fer dans cette solution ?

7- Calculer le potentiel standard du couple $\text{Fe}(\text{CN})_6^{3-} / \text{Fe}(\text{CN})_6^{4-}$.

On réalise le tracé de la courbe courant-tension relative au couple $\text{Fe}(\text{CN})_6^{3-} / \text{Fe}(\text{CN})_6^{4-}$.

La solution électrolytique contient :

KCl à 1 mol/L ;

$\text{K}_4\text{Fe}(\text{CN})_6$ à $0,01 \text{ mol.L}^{-1}$ et $\text{K}_3\text{Fe}(\text{CN})_6$ à $0,01 \text{ mol.L}^{-1}$.

L'électrode de travail et la contre-électrode sont des électrodes de platine.

Le pH est proche de 5.

Lorsque la ddp appliquée est suffisamment importante entre l'ET et la CE, on observe un dégagement gazeux à chacune de ces électrodes, dont l'un est associé à une odeur piquante.

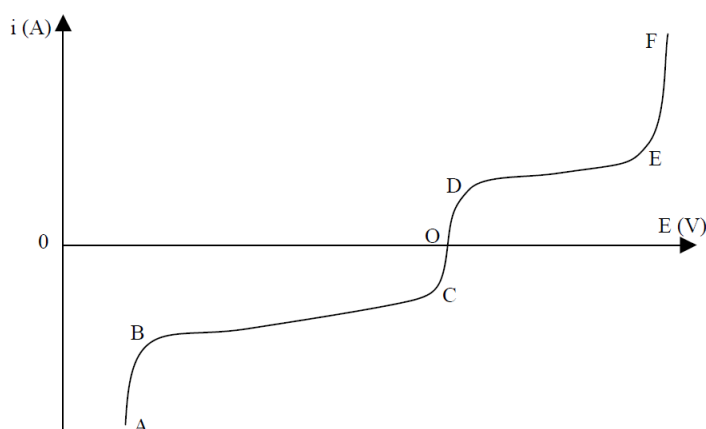
La figure suivante représente la courbe obtenue.

i représente l'intensité entre les deux électrodes de platine.

E représente le potentiel par rapport à l'ESH d'une des électrodes de platine, déterminé à l'aide d'une électrode de référence.

Les graduations sur les axes ne sont pas indiquées. Seule l'origine de l'axe des ordonnées est donnée.

Rappeler le schéma correspondant à cette manipulation en justifiant rapidement sa mise en œuvre.



10- Indiquer la signification des six parties de cette courbe (AB, BC, CO, OD, DE et EF) en commençant par la partie AB.

11- En déduire approximativement le potentiel correspondant aux trois parties à peu près verticales de la courbe (AB, CD et EF). Pourquoi ne peut-on pas prévoir exactement certaines de ces valeurs ?

12- En utilisant des électrodes de platine platiné, l'odeur piquante n'est plus observée. Expliquer.

Mécanique des fluides : Ruissellement d'eau sur une stalactite (Centrale-Supélec extrait)

Le ruissellement d'eau sur une surface est un phénomène très courant (Partie I) qui joue un rôle essentiel dans la formation de stalactites. Ainsi, sur la voûte d'une grotte où ruisselle une eau chargée en carbonate de calcium, des concrétions de calcaire appelées stalactites peuvent se former et croître à partir de la voûte (cf. figure 1)

Figure 1



De même lorsque de l'eau de pluie ruisselle en hiver sur un garde-corps, on observe souvent la formation de stalactites de glace (figure 2).

Figure 2



Dans tout le problème, le référentiel terrestre est supposé galiléen, \vec{e}_Z est un vecteur-unitaire orienté selon la verticale descendante et le champ de pesanteur $\vec{g} = g\vec{e}_Z$ est uniforme avec $g = 9,8 \text{ m} \cdot \text{s}^{-2}$. On prendra garde à ne pas confondre \vec{e}_Z et le vecteur unitaire \vec{e}_z qui est introduit dans certaines parties pour repérer la direction perpendiculaire à l'écoulement.

I.A - Étude d'un écoulement modèle

On étudie dans un premier temps un écoulement incompressible et stationnaire d'eau (masse volumique μ et viscosité dynamique η uniformes et constantes) sur un plan incliné faisant un angle θ avec l'horizontale (cf. figure 3). On note h l'épaisseur du film liquide à l'abscisse x , supposée uniforme et constante et on cherche un champ des vitesses de la forme $\vec{u}(M) = u(x, z)\vec{e}_x$.

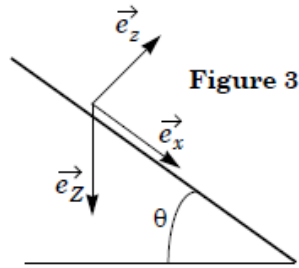


Figure 3

I.A.1) Montrer que $u(x, z)$ ne dépend pas de x .

Montrer que l'accélération d'une particule de fluide est nulle.

Expliciter les différentes actions qui s'appliquent à une particule de fluide.

On redémontrera notamment, pour le cas unidimensionnel étudié, l'expression relative aux actions de pression et celle relative aux actions de cisaillement.

I.A.2) Dédire de la question précédente la RFD relative à la particule de fluide.

Expliciter la projection de cette équation sur l'axe z et en déduire l'expression de la pression en fonction de h, z, μ, g, P_0 (pression imposée par l'atmosphère à l'interface) et θ .

On remarquera alors que la pression ne dépend pas de x .

I.A.3) Établir l'équation différentielle dont est solution $u(z)$ et en déduire son expression en fonction de z, g, θ de la viscosité cinématique $\nu = \eta/\mu$ et de deux constantes d'intégration.

I.A.4) Quelle est la condition aux limites imposée par le plan incliné en $z = 0$? On néglige la viscosité de l'air. En considérant un élément de surface dS de l'interface eau-air sans masse, justifier la condition aux limites :

$$\left(\frac{\partial u}{\partial z}\right)_{(z=h)} = 0.$$

I.A.5) Achever la détermination de $u(z)$ en fonction de $\theta, g, \nu = \eta/\mu, z$ et h . Dessiner le profil des vitesses.

I.A.6) En déduire que le débit volumique pour une profondeur b selon \vec{e}_y vaut :

$$q = \frac{g \sin \theta h^3 b}{3\nu} \quad (1)$$

Déterminer l'expression de la vitesse débitante.

I.B - Application aux stalactites

On étudie désormais l'écoulement d'eau le long d'une stalactite réelle d'axe OZ et de rayon $R(Z)$ pour laquelle on peut définir un angle $\theta(Z)$ local (cf. figure 4) sur des échelles de temps telles que la croissance de la stalactite est imperceptible : $R(Z)$ et $\theta(Z)$ ne dépendent pas du temps.

Du fait que $h(Z) \ll R$ et que R et θ varient doucement avec Z , on peut exprimer le débit volumique $q(Z)$ à travers le plan de cote Z à l'instant t en utilisant l'expression (1) établie en I.A.6) en y remplaçant b par $2\pi R(Z)$.

I.B.1) À quel endroit de la stalactite l'expression de $q(Z)$ ainsi obtenue est-elle erronée ?

I.B.2) Le débit $q(Z=0) = q_0$ en haut de la stalactite est supposé indépendant du temps. Proposer une méthode de mesure expérimentale de q_0 .

I.B.3) Montrer que l'épaisseur du film h est de la forme :

$$h = l_c^{4/3} (R \sin \theta)^{-1/3} \quad (2)$$

où l_c est une longueur caractéristique qu'on exprimera en fonction de q_0 , g , ν .

I.B.4) Pour une stalactite de calcaire on prend $q_0 = 50 \text{ mL} \cdot \text{h}^{-1}$, $R_0 = R(Z=0) = 5 \text{ cm}$ et $\theta(Z=0) = \pi/2$. La viscosité cinématique de l'eau vaut $\nu = 10^{-6} \text{ m}^2 \cdot \text{s}^{-1}$. Calculer l_c , $h_0 = h(Z=0)$ et la vitesse moyenne $u_m(Z=0)$ définie comme la vitesse d'un écoulement uniforme qui aurait le même débit volumique.

I.B.5) Expliciter un nombre de Reynolds associé à cet écoulement en adoptant h_0 comme distance caractéristique. Le calculer numériquement avec les valeurs de la question I.B.4. Commenter.

I.B.6) Le modèle n'est valable que si $h/R < 10^{-1}$. Quelle condition numérique en déduit-on sur R ?

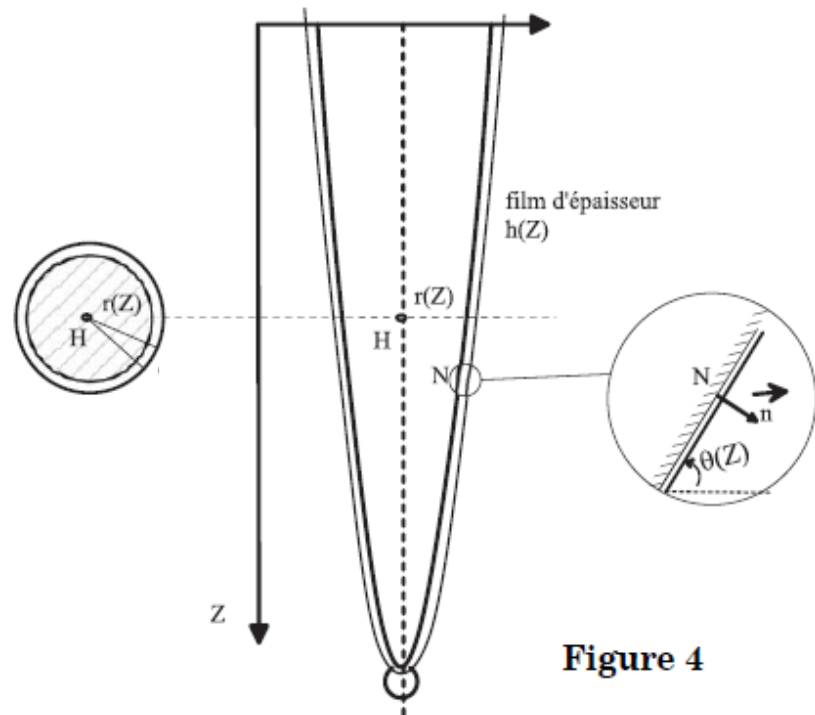


Figure 4